

# بررسی آزمایشگاهی رفتار چرخه‌ای اتصال خمی نوین T‌شكل تیر فولادی به ستون فولادی پرشده با بتن (CFT)

حمید محمدی گرفمی<sup>۱</sup>، امید رضائی فر<sup>۲\*</sup>

۱- کارشناسی ارشد، مهندسی عمران، دانشگاه سمنان، سمنان

۲- دانشیار، مهندسی عمران، دانشگاه سمنان، سمنان

\*سمنان، صندوق پستی ۱۹۱۱۱-۳۵۱۳۱، [orezayfar@semnan.ac.ir](mailto:orezayfar@semnan.ac.ir)

(تاریخ دریافت: ۱۳۹۹/۰۸/۲۳، تاریخ پذیرش: ۱۳۹۹/۱۲/۱۸)

## چکیده

المان‌های T‌شكل به دلیل مزایای زیادی که دارند، از جهت سهولت اجرا، صرفه اقتصادی و شکل‌پذیری مناسب یکی از پرکاربردترین المان‌های اتصال تیر به ستون می‌باشد. استفاده از بولت‌های میان‌گذر برای برقراری اتصال بین بال سپری و بال ستون متداول است. اما انتقال مستقیم تنش‌ها به بدنه ستون، باعث تضعیف عملکرد پیچ‌ها تحت بارگذاری چرخه‌ای می‌شود. به همین جهت در این پژوهش در اقدامی نوآورانه از دیافراگم خارجی ستون به همراه بولت‌های میان‌گذر استفاده گردید و عملکرد مشترک و توأم‌انهای آن‌ها بر روی عملکرد اتصال مورد بررسی قرار گرفت. بر مبنای نمونه‌های صحت‌سنگی شده در نرم افزار آباقوس، دو نمونه اتصال با بولت میان‌گذر با و بدون دیافراگم خارجی طراحی و ساخته شدند سپس عملکرد آنها در آزمایشگاه موردن ارزیابی قرار گرفت. نتایج تحقیقات نشان داد که عملکرد کلی هر دو اتصال کاملاً مطلوب بوده و ضوابط پذیرش اتصالات صلب را بر مبنای آئین‌نامه‌های AISC و FEMA را به خوبی می‌گذراند و می‌تواند به عنوان یک اتصال صلب در قاب‌های خمی ویژه استفاده شوند. هر دو نمونه آزمایشگاهی بدون زوال مقاومت به دوران نسبی ۰/۰۶ رادیان دست یافتند. شکست نهایی در نمونه قادر دیافراگم خارجی در سیکل نخست دوران نسبی ۰/۰۷ رادیان با جداسدگی مهره از بولت‌های میان‌گذر اتفاق افتاد در حالی که این موضوع در نمونه دارای دیافراگم خارجی به صورت شکل‌پذیر و همراه با تغییرشکل در بال و جان تیر رخ داد.

## واژگان کلیدی

اتصال خمی تیر به ستون، ستون مرکب CFT، اتصال T‌شكل، بولت میان‌گذر، دیافراگم خارجی

## The experimental study of the cyclic behavior of a new T-shaped bending connection of steel beam to steel column filled with concrete (CFT)

H.M. Garfamy, O. Rezayfar

### Abstract

T-shaped elements are widely used in many beam-column connections due to the abundant advantages, such as ease of implementation, economic efficiency, and appropriate ductility. The through bolts were utilized to connect the Tee profile to the column flange. However, the direct transfer of stresses to the body of the column decreases the performance of bolts under the cyclic loads. Therefore, in an innovative effort, the external diaphragm of the column with the through bolt was used to evaluate the combine effect of them on the connection performance. Based on the validated models in ABAQUS software, two samples were designed and assembled with and without the external diaphragm and the performance of them was evaluated in the laboratory. The results indicated that the overall performance of both connections were quite well and they passed the acceptance criteria according to AISC and FEMA codes and can be used in the special moment resisting frames as fully restraint connections. Both experimental specimens achieved a relative rotation of 0.06 radians without strength degradation. The final failure in the specimen without the external diaphragm occurred in the first cycle of the 0.07 relative rotations with the separation of the nut from the through bolts, while this issue in the specimen with an external diaphragm is ductile and deformable in the flange and the web of beam.

### Keywords

Beam-to-column flexural connection, CFT composite column, T-shaped connection, Through bolt, External diaphragm

## ۱- مقدمه

اثر میزان تراکم و فشردگی بتن روی مقاومت فشاری ستون‌های CFT را [Han](#) و [Yao](#) بررسی کردند [۵]. تحقیقات [Dundu](#) روی ستون‌های CFT با تکیه‌گاه‌های ساده نشان داد که ستون‌های لاغر با کمانش سرتاسری همراه با کمانش موضعی کوچک در وسط ستون خراب می‌شوند، اما ستون‌های کوتاه با له شدن بتن همراه با تسلیم لوله فولادی گسیخته می‌شوند.

اثر میزان تراکم و فشردگی بتن روی مقاومت [Hatzigeorgiou](#) و [Johansson Susantha](#)

برای ستون CFT ارائه ارائه نمودند که قادر به پیش‌بینی مقاومت محوری ستون‌های CFT کوتاه با دقت مناسب می‌باشدند [۶-۸]. [De Oliveira](#) و همکارانش با استفاده از این مدل‌ها اثر محصورشدنگی روی ستون‌های CFT را مورد بررسی قراردادند. در آزمایش‌های دی اولیورا و همکارانش مدهای شکست مختلفی مشاهده گردید که تابعی از نسبت طول به قطر، نسبت قطر به ضخامت لوله فولادی و مقاومت فشاری بتن می‌باشدند [۹].

اثر میزان تراکم و فشردگی بتن روی مقاومت [Chung](#) و همکارانش، به ارزیابی اعضای CFT با مقاومت بالا تحت بار خارج از مرکز پرداخته‌اند. در تحلیل آن‌ها از فولاد پر مقاومت و بتن پر مقاومت استفاده شده است [۱۰-۱۲]. [Ricles](#) و همکارانش [۱۳] نیز تحقیقاتی را بر روی رفتار چشم‌های اتصال ستون‌های CFT انجام دادند. تحقیقات آن‌ها شامل آزمایش بر روی ۱۰ نمونه اتصال خمثی با ابعاد واقعی تحت بار زلزله بود. هر نمونه اتصال تیر بال پهن به ستون جعبه‌ای با جزئیات متفاوتی بود. در این نمونه‌ها اثر تلفشدن انرژی در چشم‌های اتصال نیز بررسی شده است. همچنین مشخص گردید با استفاده از دیافراگم داخلی می‌توان چشم‌های اتصال را سخت‌تر کرد اما این کار باعث ایجاد تمرکز کرنش در محل سوراخ دسترسی جوش و شکست جوش می‌شود.

تحقیقات دیگر بر روی سخت‌کننده‌ها، نشان داد که اتصالات با دیافراگم خارجی مقاومت کافی و شکل‌پذیری مناسبی دارند [۱۴]. بر اساس این تحقیقات ابعاد سخت‌کننده خارجی بر طرفیت تغییر شکل و استهلاک انرژی در این اتصالات تأثیر زیادی دارد. با افزایش نسبت بار محوری، تغییر شکل‌های نهایی و استهلاک انرژی تجمعی اتصال کمی کاهش می‌یابد همچنین در مدل‌های کای و همکارانش از بولت فولادی جهت افزایش مقاومت برخی و درگیر کردن بتن با جداره فولادی ستون پر شده با بتن استفاده می‌شود.

اثر میزان تراکم و فشردگی بتن روی مقاومت [Ricles](#) و همکارانش در سال ۲۰۰۴ رفتار لرزه‌ای اتصالات خمثی بین تیرهای I شکل و ستون CFT را از طریق

ستون‌های مرکب پرشده با بتن (CFT) از ترکیب بتن و فولاد تشکیل شده و مزایای هر دو را دارا هستند. این ستون‌ها به علت وجود جداره پیوسته فولادی نیازی به قالب‌بندی ندارند.

ستون پر شده با بتن می‌تواند خصوصیاتی از جمله مقاومت، شکل‌پذیری و ظرفیت جذب انرژی بالا را فراهم نماید [۱]. ستون فولادی پر شده با بتن علاوه بر افزایش قابل توجه ویژگی‌های سازه‌ای، می‌تواند زمان ساخت را نیز به مقدار قابل توجهی کاهش دهد [۲].

اگرچه ستون‌های قوطی شکل پر شده با بتن نسبت به ستون‌های با مقطع تو خالی معمولی از عملکرد لرزه‌ای مطلوب‌تری برخوردار هستند اما از طرفی در این نوع ستون‌ها به علت وجود بتن در مقطع اجرای ورق پیوستگی امکان پذیر نیست. بنابراین در اتصالات صلب تیر فولادی به ستون مخلط ضعف در چشم‌های اتصال مشاهده می‌شود [۳]. در مناطق با لرزه‌خیزی بالا استفاده از اتصال تیر به جداره ستون بدون سخت‌کننده و با جوش توصیه نمی‌شود. بنابراین در اتصال تیر فولادی به ستون مرکب پرشده با بتن می‌باشد اجرای جزئیات مناسبی که موجب کاهش اعوجاج و کرنش‌های بزرگ در بال ستون شود ضروری است [۴]. [Kanatani](#) و همکارانش به منظور ارزیابی تغییر شکل‌های خارج از صفحه اتصالات و از بین بردن مشکلات در زمینه جوشکاری، بولت‌های عبوری اتصال خمثی را به عنوان جایگزینی برای دیافراگم به کار برdenد [۵]. همکارانش به بررسی رفتار اتصال با بولت عبوری از ستون و همچنین ترکیب بولت و مقطع تیر عبوری از ستون پرداختند [۶]. المان‌های T شکل یکی از مهم‌ترین اجزای اتصالات تیر به ستون فولادی می‌باشد که به علت مزایایی همچون سهولت در فرآیند ساخت، حمل و نصب و شکل‌پذیری مناسب، اقتصادی و مقاوم بودن بسیار کاربردی می‌باشد. پیچ کردن بال سپری به بال ستون در ستون‌های قوطی شکل یکی از مشکلات این اتصال عنوان می‌شود. به همین دلیل در این پژوهش به صورت نوآورانه از بولت‌های میان‌گذر برای اتصال بال سپری به بال ستون استفاده شده است.

هدف از انجام این پژوهش معرفی و ارائه دو اتصال صلب اقتصادی و مقاوم به منظور بهره‌مندی در سازه‌های متšکل از ستون‌های فولادی پرشده با بتن می‌باشد که علاوه بر حل چالش‌ها و معضلات موجود و احراز ضوابط فنی آیین‌نامه‌های مربوطه، موجب تسهیل و تسريع فرآیند اجرا گردد.



عددی رفتار خوب اینگونه اتصالات را نشان می‌دهد. اتصالات با سپری پیچ شده رفتار لرزه‌ای مناسبی داشته و دارای مقاومت، سختی و انعطاف‌پذیری استثنایی هستند اما با مشکل گسیختگی شامل ترکیب شکست برشی چشمۀ اتصال و کمانش موضعی بالهای ستون و لهیدگی موضعی در محل عکس‌العمل نیروهای واردۀ در جداره فولاد مواجه هستند. همچنین در صورت استفاده از این اتصال در ستون‌های جعبه‌ای پرشده با بتن به همراه بولت‌های میان‌گذر، مشکلات دیگری از قبیل شکست در مکان سوراخ‌ها در جایه‌جایی‌های بالا، تغییر طول نسبی بولت‌های عبوری تحت بارهای چرخه‌ای و کاهش سطح عملکرد آن‌ها و نیز تراکم بالای محصول قطر بولت‌های میان‌گذر به‌ویژه در اتصالات چهارگره‌به‌عنوان سدی برای عبور بتن از ناحیه اتصال بوجود خواهد آمد. به‌منظور حل این مشکلات استفاده از دیافراگم‌های خارجی و اتصال آن‌ها به سپری‌ها می‌تواند به‌عنوان یک گزینه مطلوب مطرح باشد. بدین ترتیب می‌توان از مزایای دیافراگم‌های خارجی شامل مقاومت کافی، شکل‌پذیری و جذب انرژی مناسب در ترکیب با اتصالات سپری به همراه بولت‌های میان‌گذر بهره برد و مشکلات مطرح شده را برطرف نمود. دیافراگم‌های خارجی بر خلاف سپری‌ها که نیروها را مستقیماً به جداره ستون وارد می‌کنند، نیروهای بال تیر را پیرامون مقطع ستون پخش کرده و مانع از تغییر شکل‌های بزرگ در مقطع ستون نسبت به اتصال با سپری می‌شوند. این در حالیست که ترکیب این دو با هم می‌تواند مشکلات اتصالاتی که صرفاً دارای دیافراگم خارجی هستند شامل اشغال فضای اطراف محل اتصال و ایجاد مشکل در هنگام اجرای دیوارهای پیرامونی، نمای ساختمان و همچنین اجرای آسانسور در چاله‌های آن‌ها، گسیختگی جوش دیافراگم به بال تیر در تغییرشکل‌های بالا و گسترش آن به بال و جداره ستون به خصوص در نواحی تحت تأثیر گرمای بالای جوش، کمانش موضعی دیافراگم خارجی، کاهش شدید سختی مماسی پس از محدوده الاستیک و درنهایت تسليم شدید آن‌ها را نیز به خوبی مرتفع نماید و بهنوعی این دو می‌توانند پشتیبان یکدیگر باشند. به گونه‌ای که در صورت افت مقاومت در یکی، دیگری جبران نماید. نیز ضمن عملکرد مشترک مطلوب، قطر بولت‌های میان‌گذر و ابعاد دیافراگم‌های خارجی و یا مشخصه‌های مقاومتی آن‌ها در یک اتصال ترکیبی کاهش می‌یابد و حتی بسته به نیاز می‌توان در طراحی از قطر بولت‌ها یا ابعاد دیافراگم‌های خارجی و به طور کلی ظرفیت مقاومتی یکی در یک بازه معین کاست و بر دیگری افزود. این راهکار به‌منظور مقاومسازی و یا بهسازی

آزمایشگاهی تحت بار چرخه‌ای بررسی نمودند. نتایج آزمایشات نشان داد که نمونه‌های شامل اتصالات جوشی با دیافراگم‌های بیرونی و داخلی و سپری‌های پیچ شده دارای مقاومت، سختی و انعطاف‌پذیری استثنایی هستند. بهترین عملکرد در نمونه‌های جوشی و پیچی زمانی است، که اتصال به گونه‌ای باشد که تمکن تنش به حداقل برسد و مفصل پلاستیک در تیر تشکیل گردد [۱۳].

**Koester** و همکارانش [۱۵] تحقیقی را در ارتباط با تعیین مکانیزم انتقال نیرو و مدهای شکست اتصال خمثی سپری پیچ شده که جزئیات آن توسط رایکل و همکارانش داده شده بود، انجام دادند و مشاهده شد که گسیختگی شامل ترکیب شکست برشی چشمۀ اتصال و لهیدگی موضعی در محل عکس‌العمل نیروی واردۀ در جداره فولاد بود. سپس مدل‌ها و فرمول‌های جدید برای محاسبه برش چشمۀ اتصال توسعه داده شد.

تحقیقات در مورد اتصال ستون CFT در فاز سوم در سال ۲۰۰۰ افزایش یافت، وقتی که محققان بر توسعه اتصالات مختلف متوجه شدند. بعد از آن تحقیقات جامع بر روی رفتار و عملکرد انواع جدید اتصالات ستون‌های CFT تحت بارگذاری ثابت و چرخه‌ای توسط محققان زیادی انجام شد [۱۶]. اگرچه جزئیات مختلفی برای اتصال صلب تیر به ستون مرکب پرشده با بتن معرفی شده است، اما اکثر آن‌ها هنوز به صورت تئوری بوده و تا رسیدن به حالت عملی و اجرایی فاصله زیادی دارند. برای مثال کین و همکارانش مطالعاتی آزمایشگاهی روی مدل‌هایی با مقیاس واقعی با دیافراگم میانی انجام دادند. با توجه به نتایج تحقیقات کین و همکارانش، اتصال با دیافراگم عبوری شکل‌پذیری و ظرفیت جذب انرژی قابل قبولی تحت بار لرزه‌ای از خود نشان می‌دهد.

**Hu** و همکارانش در سال ۲۰۱۱ کاربرد روشن هوش مصنوعی را در اتصالات ستون‌های فولادی پرشده با بتن در قاب‌های خمثی مرکب مطالعه نمودند [۱۶]. این اتصالات ابداعی با استفاده از میلگردهای کششی با خصوصیات الاستیک و ظرفیت استهلاک انرژی بالا کاربرد دارد. مدل‌سازی ساده مطابق با شکل واقعی اتصال برای رسیدن به فرمول استفاده شد و مشاهده شد که قاب‌ها با اتصالات مرکب عملکرد بسیار خوبی دارند [۱۷].

سخت‌کننده خارجی (اتصال یقه‌ای) یکی از مناسب‌ترین نوع سخت‌کننده‌ها برای توسعه داخل کشور است. زیرا اجرای آن راحت‌تر و ارزان‌تر است. نتایج کارهای آزمایشگاهی و



چشمۀ اتصال قوی در نظر گرفته شده است.

## ۲-۲ طراحی سپری‌ها، بولت‌های میان‌گذر و دیافراگم خارجی

در این مطالعه با توجه به تحقیقات انجام شده روند طراحی بر اساس آیین‌نامه‌های AISC 358(2016) (اتصالات پیش‌پذیرفته برای قاب‌های خمشی فولادی متوسط و ویژه در کاربردهای لرزه‌ای) [۱۸]، مبحث ۱۰ مقررات ملی ساختمان (طرح و اجرای ساختمان‌های فولادی) [۱۹] و کتاب طراحی اتصالات به روش حالات حدی(LRFD) صورت گرفته است [۲۰]. با توجه به روند و روابط کترلی، محاسبات طراحی سپری‌ها، بولت‌های میان‌گذر و دیافراگم خارجی به صورت ذیل می‌باشد:

اتصال خمشی تیر UB  $203 \times 133 \times 8 \times 6$  میلی‌متر به ستون BOX $200 \times 200 \times 6$  میلی‌متر پرشده با بتن به مقاومت فشاری ۴۷ مگاپاسکال مطلوب می‌باشد. اطلاعات هندسی و مشخصات تیر و ستون در جداول (۱) و (۲) به ترتیب ارائه شده است.

جدول ۱- اطلاعات هندسی و مشخصات تیر

تیر	PG. 1		
مقدار	واحد	توصیف	پارامتر
۲۱/۹	cm	عمق تیر	$d_b$
۲۰/۳	cm	ارتفاع جان تیر	$h_w$
۱۳/۳	cm	عرض بال تیر	$b_f$
۰/۸	cm	ضخامت بال تیر	$t_f$
۰/۶	cm	ضخامت جان تیر	$t_w$
۲۷۸۹	cm <sup>4</sup>	ممان اینرسی مقطع تیر	$I_b$
۲۵۵	cm <sup>3</sup>	اساس مقطع تیر	$S_b$
۲۸۶	cm <sup>3</sup>	مدول پلاستیک مقطع تیر	$Z_b$
۲۸۱۰	kg/cm <sup>2</sup>	تش تسیم فولاد	$F_y min$
۳۳۹۰	kg/cm <sup>2</sup>	تش نهایی فولاد	$F_u min$
۴۹۰۰	kg/cm <sup>2</sup>	تش نهایی فلز الکترود E70	$F_{ue}$
۷/۲۳	t.m	حداکثر لنگر خمشی تیر	$M_u$
۳۳۰۱۴	kg	نیروی کششی و فشاری از طرف تیر به سپری	$C_u = T_u$

خلاصه نتایج طراحی سپری‌ها و بولت‌های میان‌گذر و ضخامت ورق دیافراگم خارجی در جدول (۳) نشان داده شده است. نمای کلی اتصال در شکل (۱) نشان داده شده است.



لرزه‌ای ساختمان‌های موجود که دارای اتصالات سپری با بولت‌های میان‌گذر می‌باشند نیز می‌تواند مورد استفاده قرار گیرد. در بخش دوم روند طراحی اتصالات پیشنهادی ارائه شده است. بخش سوم به روند ساخت نمونه‌ها می‌پردازد و سپس در بخش چهارم پیکربندی آزمایش توضیح داده می‌شود. در بخش‌های پنجم و ششم نیز به ترتیب نتایج حاصل از آزمایش و مقایسه آنها با نتایج حاصل از آنالیز تحلیلی مورد بررسی قرار می‌گیرد.

## ۲- طرح نمونه‌های آزمایشگاهی

در این مطالعه ابعاد تیر و ستون در هر دو نمونه ثابت در نظر گرفته شده است. اتصال بالا و پایین ستون به صورت مفصلي می‌باشد. بولت‌های میان‌گذر و دیافراگم‌های خارجی برای انتقال نیرو از تیر به ستون و مرتفع کردن نیاز به ورق پیوستگی در نظر گرفته شده اند. ابعاد سپری‌ها و قطر بولت‌ها در هر دو نمونه ثابت می‌باشد. نمونه دوم که در آن دیافراگم خارجی به مجموعه اتصال اضافه گردیده است، اتصال پیشنهادی است که در آن دیافراگم خارجی به سپری‌ها به صورت افقی اضافه گردیده است. نمونه نخست نیز اتصال سپری با بولت‌های میان‌گذر و به منظور مقایسه می‌باشد.

### ۱-۲ طراحی و کنترل طراحی نمونه‌ها براساس آیین‌نامه‌ها

روند طراحی نمونه‌ها بر اساس موارد ذیل است:

#### ۱-۱-۲ کنترل فشردگی لرزه‌ای

بال و جان تیر و ستون باید از نظر فشردگی لرزه‌ای کنترل گردد. با توجه به این‌که تیر از نوع تیرورق و ستون از نوع مقطع توخالی پرشده با بتن می‌باشد، این مقاطع بر اساس مبحث دهم مقررات ملی ساختمان [۱۹] و با استفاده از روابط محدودیت نسبت پهنا به ضخامت در اعضای فشاری با شکل پذیری زیاد کنترل شده‌اند.

#### ۱-۲-۲ کنترل تیر ضعیف-ستون قوی

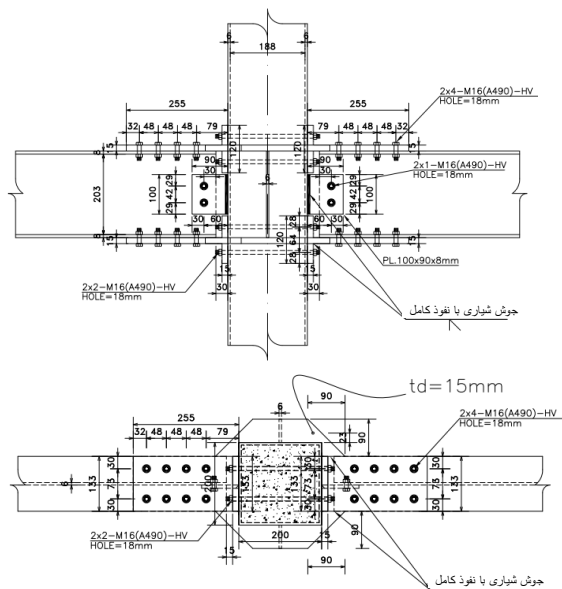
ضابطه کترلی تیر ضعیف-ستون قوی یکی از کنترل‌های با اهمیت در اتصالات قاب‌های خمشی ویژه می‌باشد. این کنترل بر اساس بند ۲-۹-۳-۱۰-۲ مبحث دهم مقررات ملی ساختمان انجام شده است.

#### ۳-۱-۲ کنترل چشمۀ اتصال

چشمۀ اتصال ضعیف موجب بیشتر شدن احتمال شکست در جوش‌های شیاری اتصال می‌شود. بنابراین، در این مطالعه

## جدول ٢ - اطلاعات هندسی و مشخصات ستون

ستون	C. 1		
مقدار	واحد	توصيف	پارامتر
۲۰	cm	عمق ستون	$d_c$
۱۸/۸	cm	ارتفاع جان ستون	$h_w$
۲۰	cm	عرض بال ستون	$b_{cf}$
۰/۶	cm	ضخامت بال ستون	$t_{cf}$
۰/۶	cm	ضخامت جان ستون	$t_{cw}$
۴۴۳۸	cm <sup>۴</sup>	ممان اینرسی مقطع ستون	$I_c$
۲۰۰۰	cm <sup>۳</sup>	مذول پلاستيك مقطع ستون	$Z_c$



شکل ۱- شمای کلی اتصال (واحدها بر حسب میلی متر)

#### جدول ۴- مشخصات مصالح به کار رفته در تحلیل اجزاء محدود

Elongation (%)	$F_u$ (MPa)	$F_y$ (MPa)	نوع فولاد مصرفی	ضخامت/قطر
جان تیر				
۲۰	۴۱۴	۳۲۸	ST37	۶
بال تیر				
۲۲	۳۶۹	۲۸۱	ST37	۸
سپری و دیافراگم خارجی				
۲۲	۴۰۷	۳۱۲	ST37	۱۵
جداره ستون CFT				
۱۲	۵۹۸	۵۷۱	ST52	۶
بولت های میان گذار				
۷	۱۳۴۷	۱۲۴۰	۱۰/۹	۱۶

بر اساس آزمون کشش ورق های فولادی و بولت های میان گذر و آزمون تعیین مقاومت فشاری بتن مورد استفاده برای ساخت نمونه های آزمایشگاهی به دست آمده است. پروتکل بارگذاری مورد استفاده در این تحلیل در شکل (۲) قابل مشاهده است. بارگذاری به صورت چرخه ای و بر اساس شرایط و پروتکل [۲۱] اعمال شده است.

با توجه به اهداف از پیش تعیین شده که در راستای حل مسائل مربوط به اتصالات سپری، بولت میانگذر و دیافراگم خارجی و افزایش سطح عملکرد و بهینه تر نمودن طرح است و همچنین با توجه به محدودیت در تعداد نمونه های آزمایشگاهی،

نشریه علمی و پژوهشی سازه و فولاد / پیاپی

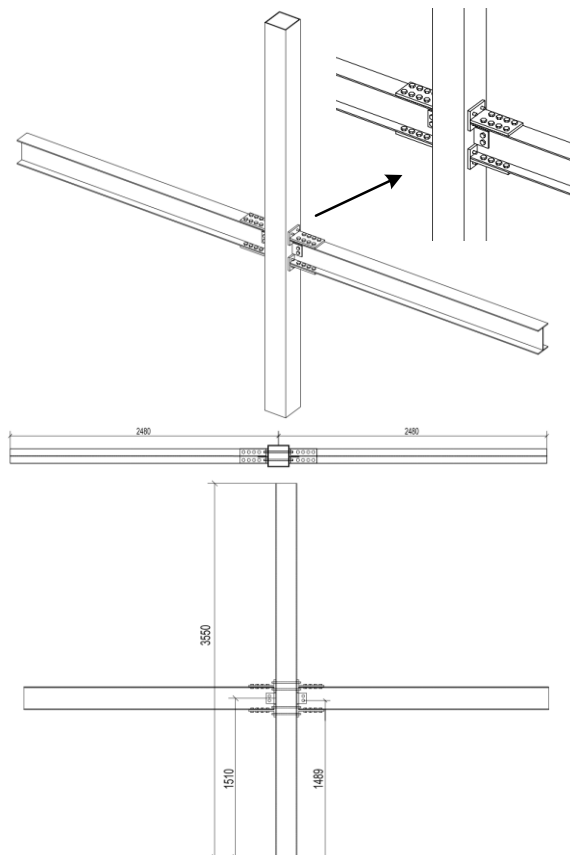
۳-۲ مشخصات مصالح و بارگذاری

مشخصات مصالح به کاررفته در تحلیل اجزای محدود به صورت خلاصه در جدول (۴) ارائه شده است. با توجه به اینکه این مطالعه تحلیلی آزمایشگاهی می‌باشد، مشخصات مصالح

داده شده است.

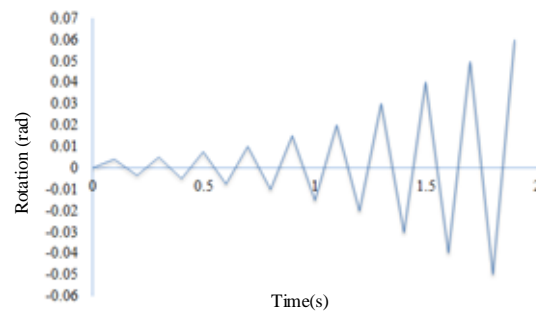
جدول ۵- مشخصات ابعادی و جزئیات اتصالات نمونه های STBOD و TSTB

TSTB	TSTBOD	نمونه
۲۰۰×۲۰۰×۶	۲۰۰×۲۰۰×۶	قطعه ستون (میلی متر)
۳۴۰۰	۳۴۰۰	طول ستون (میلی متر)
۲۰۳×۱۳۳×۶×۸	۲۰۳×۱۳۳×۶×۸	قطعه تیر (میلی متر)
۲۵۲۰	۲۵۲۰	طول تیر (میلی متر)
۲۲۰×۱۲۰×۱۳۳	۲۲۰×۱۲۰×۱۳۳	طول جان و بال و عرض سپری (میلی متر)
۱۵	۱۵	ضخامت بال و جان سپری (میلی متر)
۱۶	۱۶	قطر بولتهای میان گذار و پیچها (میلی متر)
۱۰	۱۰	ضخامت ورق اتصال جان (میلی متر)
-	۱۵	ضخامت دیافراگم خارجی (میلی متر)



شکل ۳- نقشه کارگاهی تیر، ستون و اتصال سپری با بولتهای میان گذار

یک نمونه اتصال با سپری و بولت میان گذار و یک نمونه با اضافه نمودن دیافراگم خارجی به عنوان نمونه های آزمایشگاهی انتخاب شد. بدینهی است با نتایجی که از این نمونه ها به دست می آید، می توان توسط نرم افزار آباکوس به مطالعه دقیق سایر جزئیات مربوط به سپری، دیافراگم خارجی و بولت های میان گذار پرداخت.



شکل ۲- بارگذاری چرخه ای استفاده شده در تحلیل اجزاء محدود بر اساس پروتکل SAC

نتایج به دست آمده از تحلیل های اجزاء محدود نمونه ها نشان داده شده است که هر دو نمونه می توانند نتایج خوبی در اهداف این مطالعه داشته باشد. بنابراین، یکی از نمونه های آزمایشگاهی بر اساس اتصال با سپری و بولتهای میان گذار و دیگری با اضافه کردن دیافراگم خارجی طراحی شد. دلیل انتخاب نمونه دوم مشکلات عنوان شده در اتصال سپری با بولتهای میان گذار تحت بارهای چرخه ای و تأثیر آن در عملکرد این اتصال می باشد. ابعاد مقطع تیر و ستون و همچنین ابعاد سپری ها و قطر بولتهای میان گذار در هر دو نمونه آزمایشگاهی یکسان و همانند جزئیات ارائه شده در بخش طراحی در نظر گرفته شده است. تیرها در نمونه ها به صورت تیورو ق و ستون از مقاطع HSS سرد نورد شده می باشد. دو نمونه آزمایشگاهی برای تشخیص و مجزا نمودن نتایج با نام های TSTB<sup>3</sup> و TSTBOD<sup>4</sup> مشخص شده اند، که اتصال نمونه TSTB سپری با بولتهای میان گذار و نمونه TSTBOD همراه با دیافراگم خارجی متصل به سپری ها می باشد. مشخصات ابعادی و جزئیات اتصالات نمونه های TSTB و TSTBOD در جدول (۵) آورده شده است.

### ۳- ساخت نمونه ها

برای مشخص شدن جزئیات هندسی اجزای نمونه ها در نقشه های سازه ای، نقشه های کارگاهی<sup>۱</sup> تهیه گردید. نقشه های کارگاهی کلی مربوط به هر اتصال در شکل های (۳) و (۴) نشان



خودمترکم<sup>۳</sup> بوده و طرح اختلاط آن در جدول (۶) آورده شده است. نسبت آب به سیمان در این طرح اختلاط ۰/۳۳ است.



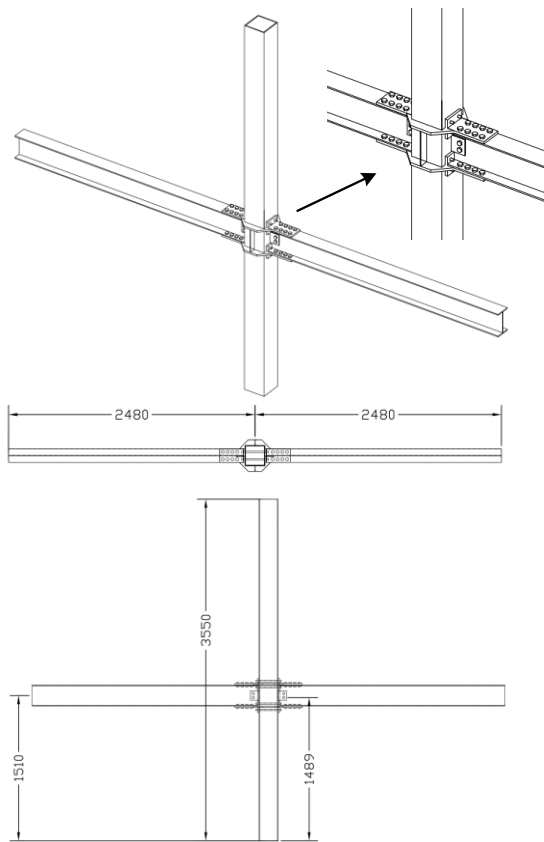
شکل ۵- برشکاری، جوشکاری و سوراخکاری بال و جان سپری

جدول ۶- طرح اختلاط بتن مورداستفاده در نمونه‌های آزمایشگاهی

mphal	مقدار مصرفی (کیلوگرم بر متر مکعب)
سیمان	۴۰
شن	۶۰۰
ماسه	۱۰۰۰
پودر سنگ	۲۰۰
فرو روان کننده بتن	۲/۱۵

مصالح مصرفی در بتن شامل شن نخودی ۱۲/۵ میلی‌متر، ماشه ۶ میلی‌متر، سیمان پرتلند تیپ ۲ و پودر سنگ است. بتن توسط میکسر کارگاهی تهیه شد. نمونه‌برداری به صورت سه نمونه مکعبی به بعد ۱۵ سانتی‌متر به منظور تست مقاومت فشاری بتن انجام گردید. ستون‌ها به صورت قائم به ستون‌های سوله کارگاه مقید شدند و بتن داخل آن‌ها ریخته شد. با گذشت ۲۸ روز از بتون‌ریزی داخل ستون‌ها و مقاوم شدن آن، بولت‌های میان‌گذر با استفاده از امپکت برقی پیش‌تنیده شدند. به منظور حصول اطمینان از ایجاد حداقل نیروی پیش‌تیدگی موردنیاز از آچار ترک‌متر مدرج دارای گواهی کالیبراسیون بهره گرفته شد.

## نشانیه علمی و پژوهشی سازه و فولاد ۱۵۸



شکل ۶- نقشه کارگاهی تیر، ستون و اتصال سپری با بولت‌های میان‌گذر به همراه دیافراگم خارجی

مشخصات فرآیند جوشکاری (WPS) مطابق استاندارد AWS D 1.1<sup>۲۲</sup> در نظر گرفته شده است. پروفیل ستون و ورق‌های موردنظر در اندازه‌های مشخص شده در نقشه‌ها برش خورده و سوراخکاری لازم بر روی آن‌ها صورت پذیرفت.

در مرحله بعد با توجه به مشخصات فرآیند جوشکاری، لبه ورق‌هایی که توسط جوش شیاری با نفوذ کامل به ورق یا المان دیگری متصل می‌شوند، پخ زده شده و به وسیله عملیات سنگ‌زنی آماده شدند. از همان پروفیل و ورق‌هایی که قطعات از آن برش خورده‌اند، نمونه‌هایی برای آزمون کشش فولاد آماده شد. پس از عملیات تسمه‌سازی، سوراخکاری و قطعه‌زنی، قطعات جوشی به هم مونتاژ و جوشکاری شد (شکل ۵).

در کلیه جوشکاری‌ها از فرآیند جوش GMAW با گاز CO<sub>2</sub> میکس استفاده شده است. قطر الکترود مصرفی ۱/۲ میلی‌متر می‌باشد. پس از جوشکاری جان به بال سپری‌ها، نفوذ کامل جوش با دستگاه تست التراسوئنیک<sup>۳</sup> مورد آزمایش و پذیرش قرار گرفت. در این مرحله سپری‌ها توسط پیچ‌های میان‌گذر به ستون متصل گردید. پس از نصب سپری‌ها به ستون، داخل باکس ستون بتون‌ریزی شد. بتن مورداستفاده از نوع بتن

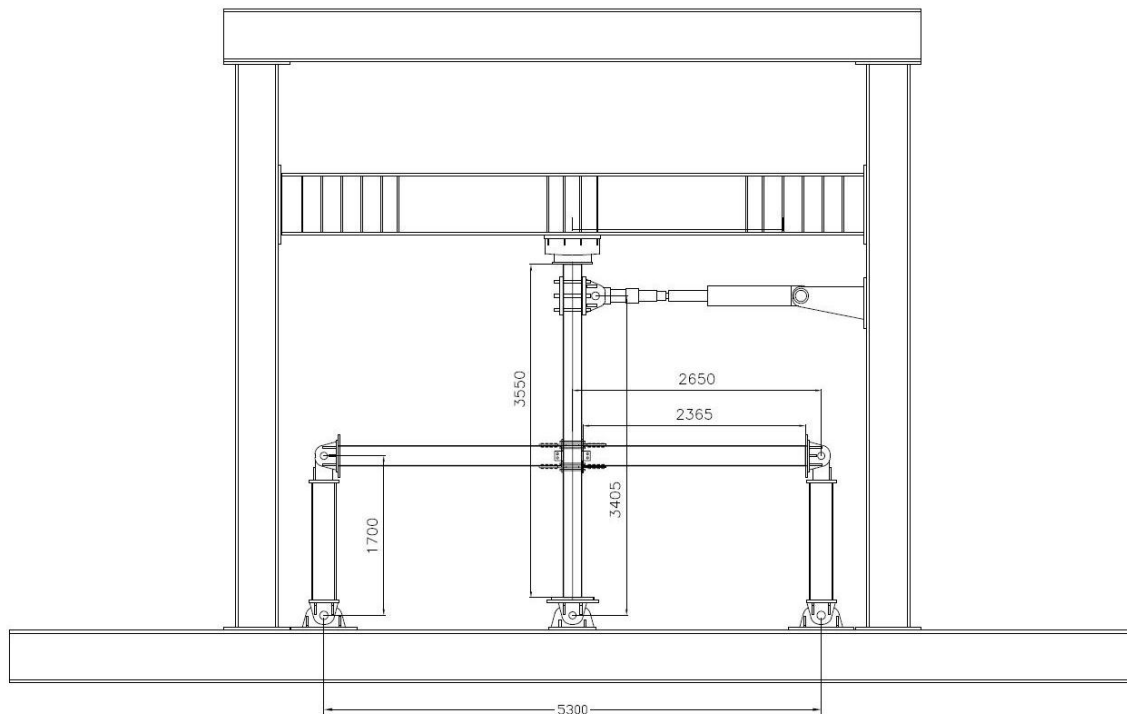


است. به طوری که ستون به صورت قائم و تیر به صورت افقی فرار گرفته و نیرو به انتهای ستون وارد می‌شود. روش بارگذاری نمونه در این مطالعه مشابه روشی است که توسط Qin و همکارانش [۲۲] به کار رفته است. اتصال انتهای ستون به صورت مفصلی می‌باشد و تکیه‌گاه‌های انتهای تیر با جزئیات مناسب به صورت غلتکی در نظر گرفته شده است.

درنهایت بال و جان تیرها به وسیله پیچ، مهره و واشر به ترتیب به جان سپری‌ها و ورق اتصال جان جوش شده به بال ستون متصل گردیدند.

#### ۴- پیکربندی آزمایش

پیکربندی آزمایش در آزمایشگاه در شکل (۶) نشان داده شده



شکل ۶- پیکربندی نمونه‌های اتصال در آزمایشگاه



(الف) نمونه TSTB



(ب) نمونه TSTBOD

شکل ۷- نمونه‌های آزمایشگاهی



بارگذاری توسط یک جک هیدرولیکی که به دیواره قاب صلب آزمایشگاه متصل شده است، به صورت افقی به انتهای ستون CFT اعمال می‌گردد. اتصال جک به قاب صلب به صورت گیردار و به ستون به صورت مفصلی می‌باشد. در قسمت بالای ستون و پس از مفصل بارگذاری یک سیستم غلتکی مناسب برای ایجاد تکیه‌گاه جانبی و جلوگیری از حرکت خارج از صفحه ستون تعییه شده است. در نمونه‌های آزمایشگاهی TSTB و TSTBOD طول تیر از بر ستون تا مرکز مفصل انتهایی تیر ۲۵۵ سانتی‌متر و ارتفاع ستون بین دو مفصل بالا و پایین آن  $340/5$  سانتی‌متر می‌باشد.

به منظور جلوگیری از تغییر شکل‌ها و جابجایی‌های ناخواسته کلیه تکیه‌گاه‌ها پس از بسته شدن کترل شده و تراز شدند. شکل (۷) نمونه‌های آزمایشگاهی TSTB و TSTBOD را نشان می‌دهد. قبل از هر آزمایش کلیه ابعاد هندسی و جوش‌های اتصال کترل و با نقشه‌های اجرائی مطابقت داده شدند.

در نمونه دوم که دارای دیافراگم خارجی می‌باشد، قسمتی از دیافراگم‌های خارجی که توسط جوش شیاری با نفوذ کامل به سپری‌ها متصل می‌گردد، پخ زده شده و سپس به سپری‌ها جوش شدن. بهمنظور عدم ترکیب اتصال جوشی و پیچی در راستای طولی تیرها و رسیدن به عملکرد مشترک مطلوب دیافراگم‌های خارجی با بولت‌های میان‌گذر، دیافراگم‌های خارجی در گوشه گرد ستون و حد فاصل آن تا سپری‌ها و همچنین محدوده قرارگیری بال تیرهای عمود بر صفحه، قادر جوش می‌باشند. به عبارت دیگر دیافراگم خارجی در این قسمت‌ها به بال و جان ستون متصل نیست. سایر قسمت‌های دیافراگم با جوش گوشه به جان ستون متصل گردیده‌اند. ورق قائمی به ضخامت ۶ میلی‌متر که میانه دیافراگم خارجی فوکانی را به تحتانی متصل می‌کند در نقش جان تیر عمود بر صفحه، بهمنظور جلوگیری از تغییرشکل‌های احتمالی خارج از صفحه دیافراگم خارجی تعییه

شده است.

سطوح ورق‌های درگیر در اتصالات اصطکاکی، قبل از پیش‌تینیده کردن پیچ‌ها، کاملاً بر روی یکدیگر قرار گرفته و کیپ شده‌اند و چفت و بست میان سطوح مذکور بدون اعمال فشار محصول پیش‌تینیده کردن پیچ‌ها اتفاق افتاده است.

به منظور مشاهده تسلیم‌شدگی و ترک‌خوردگی‌ها در نمونه معمولاً از آب‌آهک استفاده می‌شود. محل نزدیک اتصال تیر به ستون در نمونه‌ها با آب‌آهک پوشانده شد تا کمانش موضوعی، تغییرشکل‌ها و گسیختگی‌ها با ریختن آهک حین بارگذاری مشخص گردد. پیکربندی کلی نمونه‌ها در قاب صلب بارگذاری آزمایشگاه در شکل (۸) قابل مشاهده است.

کرنش‌سنج‌ها بر اساس راهنمای موجود درسته آن‌ها نصب شده‌اند. شکل (۹) کرنش‌سنج‌ها بر روی دیافراگم خارجی در نمونه TSTBOD را نشان می‌دهد.

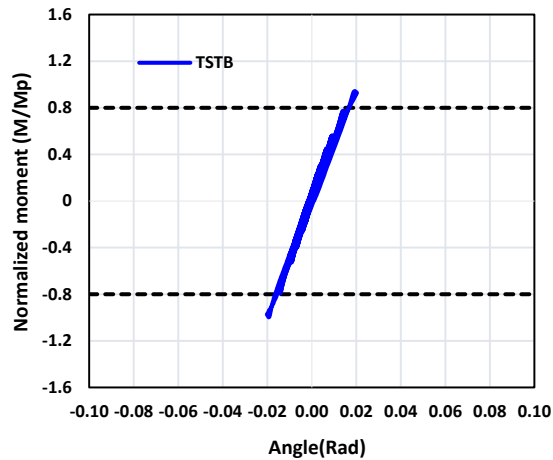


شکل ۸- پیکربندی کلی نمونه‌ها در قاب صلب بارگذاری آزمایشگاه

شده است. در ادامه اتصالات از لحاظ لرزه‌ای ارزیابی شده، دوران چشممه اتصال در دو نمونه محاسبه و با یکدیگر مقایسه شده‌اند. همچنین نمونه‌های تحلیلی بر مبنای نتایج نمونه‌های آزمایشگاهی صحبت‌سنگی شده و توزیع تنش و کرنش در آن‌ها بررسی شده است.

## ۵- نتایج آزمایشگاهی

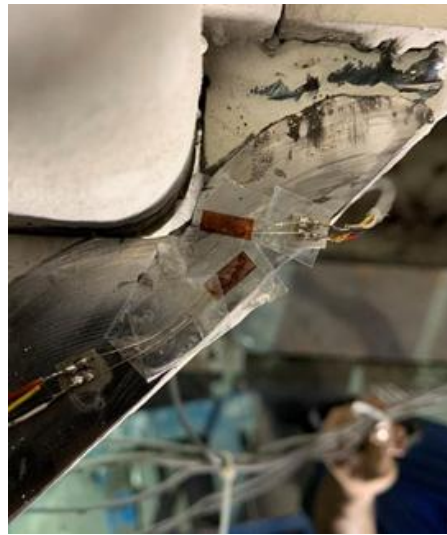
در این بخش نتایج آزمایش نمونه‌ها شامل مشاهدات عینی، منحنی‌های هیسترزیس، تغییرشکل‌های هر نمونه در زوایای مختلف دوران حین و پس از پایان بارگذاری و نتایج کرنش‌سنج‌ها گزارش می‌گردد. پس از آن نتایج آزمایشات تفسیر



شکل ۱۰- نمودار هیسترزیس در پایان محدوده دوران نسبی

۰/۰ رادیان

دوران نسبی، نمونه در مجموع تحت ۲۸ چرخه کامل بارگذاری قرار گرفت. با این حال تا انتهای این چرخه، نشانه‌ای از کمانش و تغییر شکل‌های موضعی در بال و جان تیر مشاهده نشد. تا انتهای بارگذاری در دو چرخه دوران نسبی ۰/۰۴ رادیان، در نمودار هیسترزیس هیچ کاهش مقاومتی مشاهده نشد. ریزش آهک و در نتیجه تسلیم شدگی جان در محدوده بین دو سپری و نزدیک بال‌ها گسترش یافته است. سپری‌ها و اتصال آن‌ها به بال ستون و بال تیر و نیز اتصال جان تیر به بال ستون همچنان سالم باقی مانده و تسلیم شدگی در محدوده آن‌ها مشاهده نمی‌شود. تا انتهای بارگذاری در محدوده ۰/۰۴ رادیان دوران نسبی، نمونه در مجموع تحت ۳۰ چرخه کامل بارگذاری قرار گرفت. در این حالت، نشانه‌های کوچکی از کمانش موضعی در بال تیر مشاهده گردید. همچنین آهک بخش‌های کوچکی از جداره فولادی ستون در قسمت گوشه گرد آن ریخته است که نشان دهنده تسلیم جزئی جداره در این ناحیه می‌باشد. در دوران نسبی ۰/۰۶ رادیان کمانش موضعی بال قابل مشاهده می‌باشد. ریزش آهک در جان تیر به‌وضوح مشاهده می‌شود و تا یک سوم جان نفوذ گردد است. پلاستیک شدگی در کل مقطع در حال گسترش است و تمرکز این پلاستیک شدگی بال و جان تیرها در محدوده‌ای پس از جان سپری‌ها می‌باشد. ریزش آهک رو و زیر بال تیرها تا لبه محل اتصال جان سپری به بال آن‌ها پیش رفته است اما گسیختگی در این قسمت مشاهده نمی‌شود. هیچ گونه شکست و یا پارگی تا پایان دومین چرخه بارگذاری در دوران نسبی ۰/۰۶ رادیان رخ نداده است. مفصل پلاستیک کاملاً دور از ستون و بعد از جان سپری‌ها تشکیل شده است و آسیبی به اتصال و ستون وارد نشده است. همچنین منطقه تسلیم جداره فولادی



شکل ۹- کرنش سنج های چسبانده شده روی دیافراگم خارجی

در نمونه TSTBOD

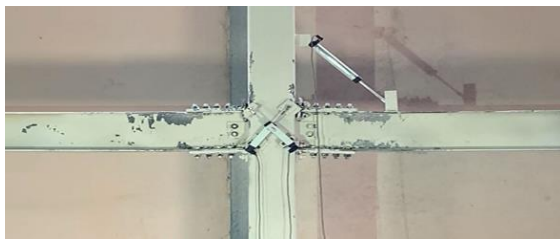
## ۱-۵- نتایج آزمایش نمونه TSTB

### ۱-۱-۵ مشاهدات عینی آزمایش

نمونه تحت بارگذاری ۲۴ چرخه اول، ۶ چرخه با دوران نسبی ۰/۰۰۳۷۵ رادیان، ۶ چرخه با دوران نسبی ۰/۰۰۵، ۶ چرخه با دوران نسبی ۰/۰۱ و ۴ چرخه با دوران نسبی ۰/۰۰۷۵ به صورت کاملاً الاستیک ۲ چرخه با دوران نسبی ۰/۰۱۵ باقی مانده و هیچ گونه ریزشی در پوشش آهکی در بال و جان تیر و ادوات اتصال مشاهده نشد. لذا تا بارگذاری در محدوده ۰/۰۱۵ رادیان هیچ گونه تسلیم و پلاستیک شدگی در نمونه مشاهده نشد.

در سیکل نخست دوران نسبی ۰/۰۲ رادیان، ریزش آهک در محل اتصالات و مشخصاً پیچ‌های اتصال بال تیر به جان سپری و جان تیر به ورق اتصال به مقدار کم مشاهده گردید. تا این قسمت هیچ‌گونه کمانشی در بال و جان تیر رخ نداد. تا این مرحله نمونه تحت ۲۶ چرخه بارگذاری قرار گرفت. با این حال هیچ‌گونه تکیدگی و ریزش آهک تا این محدوده در بال و جان تیر مشاهده نشد. شکل (۱۰) نمودار هیسترزیس در لحظه پس از بارگذاری، تا دوران نسبی ۰/۰۲ رادیان نشان می‌دهد.

در اولین چرخه بارگذاری با دوران نسبی  $0/03$  رادیان، ریزش آهک بال تیر در ناحیه پس از جان سپری به طول حدود  $35$  سانتی متر و همچنین ریزش آهک جان تیر در محدوده اتصال و بعد از آن اتفاق افتاد. در انتهای چرخه دوم بارگذاری در محدوده  $0/03$  رادیان، ریزش آهک و تسیلیم شدگی در جان و بال تیر گسترش یافت. تا انتهای بارگذاری در محدوده  $0/03$  رادیان



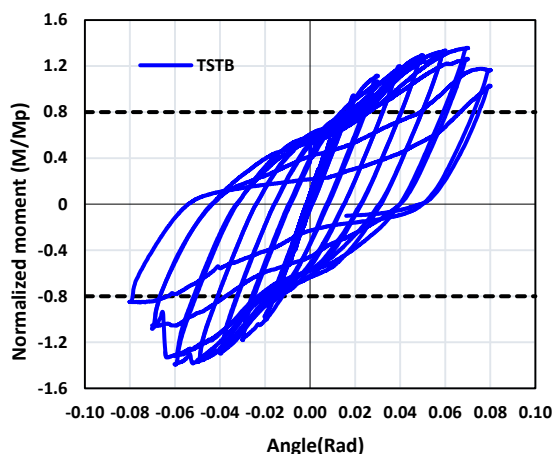
شکل ۱۱- تغییرشکل نمونه TSTB در دوران نسبی ۰/۰۸ رادیان



شکل ۱۲- جزئیات تسلیم و گسیختگی نمونه TSTB پس از بارگذاری تا دوران نسبی ۰/۰۸ رادیان

#### ۲-۱-۵- ارزیابی لرزه‌ای نمونه TSTB

نمودار هیسترزیس به دست آمده از آزمایش نمونه با اتصال سپری و بولتهای میان‌گذر TSTB در شکل (۱۳) نشان داده شده است.



شکل ۱۳- نمودار هیسترزیس نمونه آزمایشگاهی TSTB

به منظور بررسی رفتار لرزه‌ای اتصال، رفتار هیسترزیس نمونه با ضوابط پذیرش آییننامه‌های AISC و FEMA [۲۴] و [۲۵] مقایسه می‌گردد. همان‌گونه که در شکل (۱۳) مشاهده می‌شود، در حالت کلی حلقه‌های هیسترزیس نمونه TSTB پایدار بوده و شکل پذیری و استهلاک انرژی مناسبی را نشان می‌دهد.

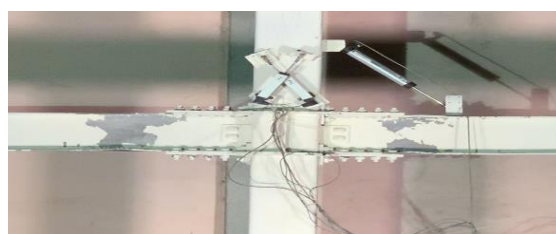
ستون در این محدوده از بارگذاری گسترش یافته است. در چرخه‌های بارگذاری با دوران نسبی ۰/۰۷ رادیان، به تدریج تسلیم‌شدن گیری در بال تیر افزایش یافته و پلاستیک شدن در جان تیر نیز گسترش می‌باید. نمودار هیسترزیس در ابتدای چرخه نخست دوران نسبی ۰/۰۷ رادیان زوال مقاومت جزئی نشان می‌دهد. این زوال مقاومت تا پایان چرخه دوم و ضمن گسیختگی مهره یکی از بولتهای میان‌گذر در سیکل اول بارگذاری تشدید شد. جان و بال تیر به میزان قابل توجهی وارد محدوده پلاستیک شده است. نکته جالب توجه در این محدوده بارگذاری گسیختگی از محل مهره بولتهای میان‌گذر و زوال مقاومت تا پایان چرخه دوم می‌باشد. آهک قسمت‌هایی از ستون در گوشه گرد آن و در بالای اتصال نیز ریخته است که این حاکی از تسلیم جداره فولادی ستون در این محدوده بارگذاری می‌باشد.

به منظور مشاهده و بررسی رفتار اتصال پس از گسیختگی از محل بولتهای میان‌گذر و زوال مقاومت حادث شده، بارگذاری تا ۰/۰۸ رادیان ادامه یافت. زوال مقاومت به تدریج افزایش یافته و شاهد گسیختگی در اتصال می‌باشیم. شکل (۱۱) وضعیت ستون، بال و جان تیرها و اتصال را در پایان چرخه دوم بارگذاری در دوران نسبی ۰/۰۸ رادیان نشان می‌دهد. همان‌گونه که مشاهده می‌شود ناحیه تسلیم در گوشه گرد ستون‌ها گسترش یافته، بولتهای میان‌گذر سپری‌های بالا گسیخته شده و بال سپری‌ها از بال ستون جدا شده است و ناحیه تسلیم در بال و جان تیرها نیز گسترش یافته است. همچنین در دوران نسبی ۰/۰۸ رادیان زوال مقاومت به دلیل گسیختگی مهره دو عدد از بولتهای میان‌گذر و از حیز انتفاع ساقط شدن آن‌ها بسیار بالا می‌باشد. در شکل (۱۲) جزئیات تسلیم و گسیختگی نمونه TSTB پس از بارگذاری تا انتهای چرخه‌های دوران نسبی ۰/۰۸ رادیان نشان داده شده است.

همانطور که بیان شد، تسلیم قسمت‌هایی از گوشه گرد ستون که از دوران ۰/۰۳ رادیان شروع شد به تدریج و تا ۰/۰۸ رادیان گسترش یافت. تسلیم و تغییرشکل‌های موضعی بال و جان تیرها از ۰/۰۳ رادیان شروع و تا ۰/۰۸ رادیان گسترش یافت. از سیکل نخست دوران نسبی ۰/۰۷ رادیان زوال نسبی ایجاد شده به دلیل گسیختگی مهره از دو بولت میان‌گذر تشدید یافت و در ادامه در چرخه‌های دوران نسبی ۰/۰۸ رادیان شاهد زوال مقاومت بسیار زیادی بودیم.

در انتهای بارگذاری با دوران نسبی  $0/04$  رادیان ریزش آهک در بال تیر به میزان کمی گسترش یافته و در جان تیر ریزش آهک مشاهده نگردید. همچنین آثاری از کمانش موضعی تا پایان بارگذاری چرخه  $30$  در نمونه مشاهده نشد. با افزایش دامنه بارگذاری تا دوران نسبی  $0/05$  رادیان، ریزش آهک و تسليم شدگی در بال بالا و پایین تیرها و در محدوده پس از جان سپری به سمت انتهای تیرها به طور محسوسی افزایش یافت. با ادامه بارگذاری تا انتهای دوران نسبی  $0/05$  رادیان تکیدگی آهک به میزان جزئی در جان تیر و زیر آخرین ردیف پیچ جان سپری مشاهده گردید که به معنای شروع تسليم شدگی جان در این محدوده بارگذاری می‌باشد.

تا انتهای بارگذاری با دوران نسبی  $0/05$  رادیان نمونه تحت  $32$  چرخه کامل بارگذاری قرار گرفت. همچنین در انتهای این محدوده از بارگذاری، کمانش موضعی در بال تیر مشاهده گردید. با بارگذاری در محدوده دوران نسبی  $0/06$  رادیان ریزش پوشش آهک در بال تیر افزایش یافت. همچنین تکیدگی آهک در جان تیر در این محدوده از بارگذاری به میزان قابل توجهی به سمت داخل عمق جان افزایش و در نتیجه تسليم در کل مقطع تیر گسترش یافت. نیز تغییرشکل و کمانش موضعی در بال تیر افزایش پیدا کرد. در انتهای بارگذاری در محدوده دوران نسبی  $0/07$  رادیان کمانش موضعی در بال تیرها افزایش یافت. ریزش آهک و در نتیجه تسليم شدگی در بال و جان تیر گسترش یافت. مرکز تسليم شدگی در بال و جان عمدتاً در محدوده پس از جان سپری می‌باشد. در بارگذاری با دوران نسبی  $0/08$  رادیان ریزش آهک و تسليم شدگی در بال و جان تیرها و کمانش موضعی در بال‌ها به میزان قابل توجهی افزایش یافت. پس از بارگذاری در محدوده دوران نسبی  $0/08$  رادیان، زوال مقاومت با توجه به نمودار هیسترزیس چشم گیر است. همان‌گونه که در شکل (۱۵) و محدوده ریزش آهک‌ها مشاهده می‌شود، تقریباً کل جان به سمت داخل عمق آن وارد محدوده پلاستیک شده است.



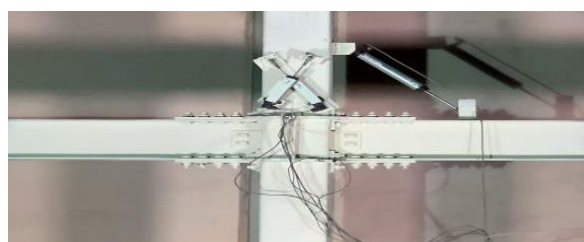
شکل ۱۵- تغییرشکل نمونه TSTBOD در دوران نسبی  $0/08$  رادیان

بر اساس آیین‌نامه لرزه‌ای آمریکا (AISC-341) مقاومت اتصال در دوران نسبی  $0/04$  رادیان باید حداقل  $80$  درصد ظرفیت لنگر پلاستیک باشد که با توجه به شکل (۱۳) این معیار برای اتصال نمونه TSTB صدق می‌کند. بنابراین از نظر AISC این اتصال مورد پذیرش در قاب‌های خمشی ویژه می‌باشد. با این حال، با توجه به این که نمونه TSTB در  $0/04$  رادیان دوران نسبی هیچ‌گونه زوال مقاومتی نداشته و ظرفیت تحمل دوران نسبی  $0/06$  رادیان را بدون آسیب قابل توجه داشته است، این اتصال از نظر FEMA نیز برای استفاده در قاب‌های خمشی ویژه مورد تأیید می‌باشد. همچنین همان‌گونه که ذکر شد، برای بررسی عملکرد این اتصال و مشاهده مد شکست، بارگذاری این نمونه تا  $0/08$  رادیان ادامه یافت و پارگی در تیر و ادوات اتصال مشاهده نگردید. تنها دو مهره بولت‌های میان‌گذر در دوران نسبی  $0/07$  رادیان هرز شد و از آن بیرون آمد. نظر به اینکه این موضوع در دوران‌های نسبی بیش از  $0/06$  رادیان به وقوع پیوسته است، بنابراین شکل‌پذیری اتصال مورد تأیید می‌باشد.

## ۲-۵- نتایج آزمایش نمونه TSTBOD

### ۱-۵- مشاهدات عینی آزمایش

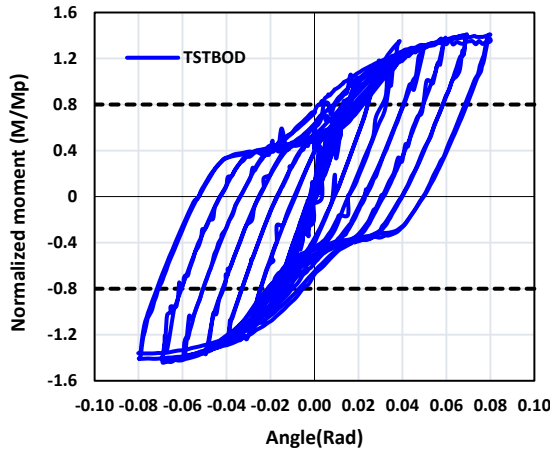
پس از آغاز بارگذاری نمونه و تا پایان چرخه  $28$  بارگذاری نمونه به صورت الاستیک باقی‌مانده و هیچ‌گونه تکیدگی آهک در بال و جان تیر، سپری و دیافراگم خارجی مشاهده نشد. شکل (۱۴) وضعیت نمونه را در بارگذاری تا دوران نسبی  $0/03$  رادیان نشان می‌دهد.



شکل ۱۴- وضعیت نمونه اتصال TSTBOD در بارگذاری تا دوران نسبی  $0/03$  رادیان

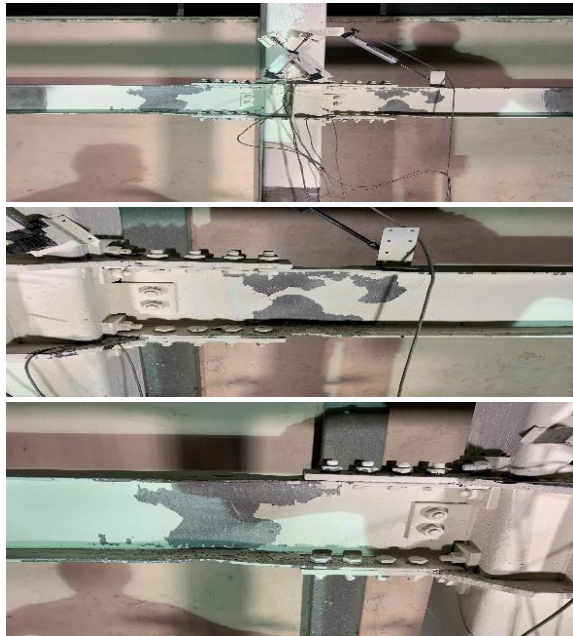
در نخستین سیکل دوران نسبی  $0/04$  رادیان ریزش آهک از لبه بال تیر آغاز شده و تسليم شدگی در این ناحیه مشاهده گردید. با ادامه بارگذاری تا انتهای چرخه  $30$  همچنان جان تیر بدون تسليم باقی‌مانده و در این قسمت ریزش آهک مشاهده نشد. بارگذاری تا دو چرخه با دوران نسبی  $0/04$  ادامه یافت.

مقاومتی نداشته و به دوران نسبی که در قاب های خمشی ویژه  $0/06$  رادیان می باشد دست یافته است. بنابراین این اتصال از نظر ضوابط لرزه ای FEMA مورد تأیید می باشد.



شکل ۱۷- نمودار هیسترزیس نمونه آزمایشگاهی TSTBOD

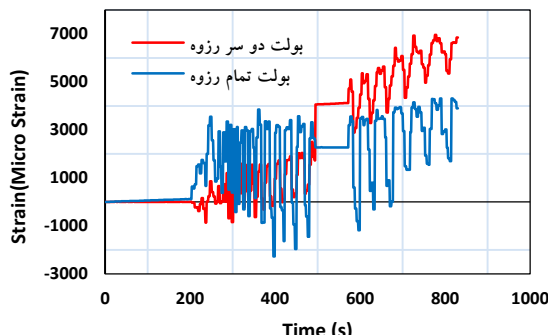
در شکل (۱۶) جزئیات تسلیم شدگی و تغییر شکل های نمونه TSTBOD پس از بارگذاری تا دوران نسبی  $0/08$  رادیان نشان داده شده است. همانگونه که ملاحظه می شود هیچ نشانه ای از ریزش آهک روی بدنه ستون و تسلیم شدگی در آن دیده نمی شود.



شکل ۱۶- جزئیات تسلیم شدگی و تغییر شکل های نمونه TSTBOD در دوران نسبی  $0/08$  رادیان

### ۳-۵- نتایج کرنش سنج ها

نتایج خروجی به دست آمده از کرنش سنج ها در نمونه TSTB در شکل (۱۸) نشان داده شده است. در نمونه TSTB کرنش سنج بر روی دو بولت میان گذر که یکی به صورت تمام رزو و دیگری به صورت دو سر رزو بود نصب گردید. همانطور که در شکل (۱۸) نشان داده شده است بولت تمام رزو به دلیل درگیری بیشتر با بتن داخل ستون دچار کرنش کمتری شده و لذا مقاومت بیشتری از خود نشان داده است.



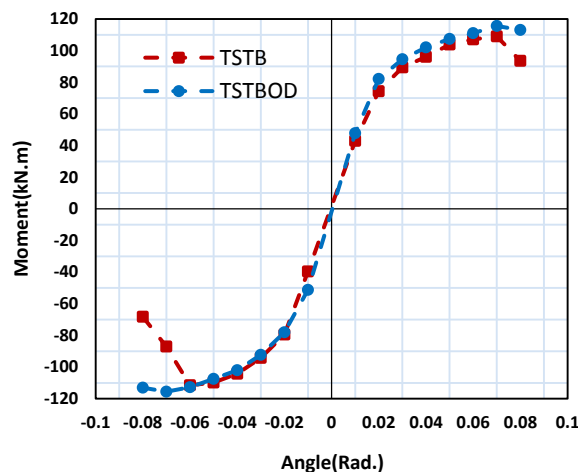
شکل ۱۸- نمودار نتایج به دست آمده از کرنش سنج های بولت های میان گذر نمونه TSTB

متاسفانه به دلیل اختلال در عملکرد دستگاه دیتالاگر و نرم افزار مربوط به آن، خروجی نتایج مربوط به کرنش سنج ها در نمونه TSTBOD ثبت نگردید یا فایل متنی حاوی نتایج به شکل نامعلومی از دست رفت.

### ۲-۲-۵- ارزیابی لرزه ای اتصال TSTBOD

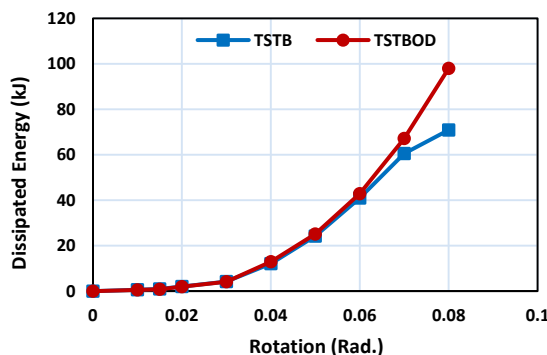
نمودار هیسترزیس برای نمونه اتصال سپری با بولت های میان گذر و دیافراگم خارجی TSTBOD در شکل (۱۹) نشان داده شده است. به منظور ارزیابی ارتباط ای اتصال، رفتار هیسترزیس نمونه با ضوابط پذیرش اتصالات صلب مقایسه می شود. همانگونه که در شکل (۱۷) مشاهده می شود نمونه در دوران  $0/04$  رادیان هیچ گونه زوال مقاومتی از خود نشان نمی دهد. بنابراین نمونه TSTBOD از نظر ضوابط پذیرش اتصالات صلب آین نامه AISC برای استفاده در قاب های خمشی ویژه مورد تأیید می باشد. زیرا معیار آین نامه AISC دارا بودن مقاومت برابر  $80$  درصد لنگر پلاستیک تبر در دوران نسبی  $0/04$  رادیان می باشد.

اتصال TSTBOD همچنین از نظر ضوابط پذیرش FEMA350 موردنرسی قرار گرفته است. همانگونه که در شکل (۱۹) مشاهده می شود در دوران نسبی که در قاب های خمشی ویژه برابر  $0/04$  رادیان می باشد، نمونه TSTBOD زوال



شکل ۲۰- نمودارهای پوش هیسترزیس نمونه‌های آزمایشگاهی TSTBOD و TSTB

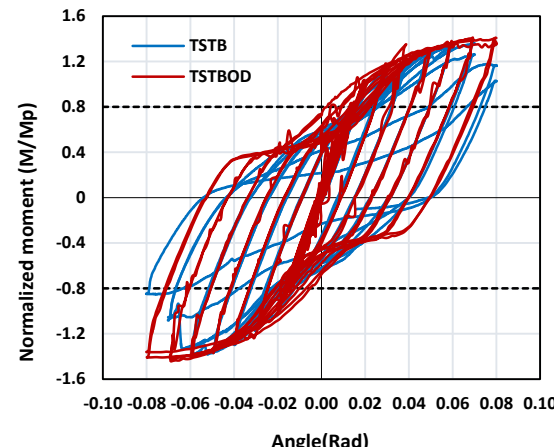
انرژی جذب شده نشانهای از توانایی یک سازه در موضوع مقاومت در برابر زلزله است. زیرا شامل هر دو جنبه مقاومت و ظرفیت تغییرشکل می‌باشد. انرژی جذب شده با محاسبه مساحت چرخه‌های منحنی هیسترزیس به دست می‌آید. با توجه به صلب بودن چشمی اتصال و ستون، انرژی از طریق تغییرشکل‌ها و کمانش‌های تیر مستهلك می‌شود. مقایسه میزان انرژی جذب شده TSTBOD و تلفشهده توسط هر دو نمونه نشان می‌دهد نمونه TSTBOD در بازه دوران  $0^{\circ}/0^{\circ}$  تا  $0^{\circ}/0^{\circ}$  رادیان استهلاک انرژی بینتری داشته است. در واقع نمونه TSTBOD که دارای ظرفیت تغییرشکل‌های بزرگتری می‌باشد دارای استهلاک انرژی بینتری در پایان آزمایش می‌باشد. شکل (۲۱) میزان انرژی جذب شده توسط نمونه‌های TSTBOD و TSTB را در بازه‌های دورانی آزمایش نشان می‌دهد.



شکل ۲۱- میزان انرژی جذب شده توسط نمونه‌های TSTBOD و TSTB در بازه‌های دورانی آزمایش

#### ۴-۵- مقایسه بین نمونه‌های TSTBOD و TSTB

مقایسه بین نمودار هیسترزیس نمونه‌های آزمایشگاهی TSTB و TSTBOD نشان می‌دهد که تا پایان دوران نسبی  $0^{\circ}/0^{\circ}$  رادیان انطباق مناسبی بین نمودارهای هیسترزیس دو نمونه برقرار است. زوال مقاومت برای نمونه با اتصال سپری و بولت‌های میان‌گذر TSTB پس از چرخه اول دوران نسبی  $0^{\circ}/0^{\circ}$  رادیان آغاز شده و تا پایان دوران نسبی  $0^{\circ}/0^{\circ}$  رادیان به دلیل جدادشگی مهره از بولت‌ها به شدت افزایش می‌یابد و در حالت کلی زوال مقاومت در آن بیشتر از نمونه TSTBOD می‌باشد. نمونه TSTBOD در زوایای دوران نسبی بیشتر از  $0^{\circ}/0^{\circ}$  رادیان زوال مقاومت کمی دارد. مقایسه نمودار هیسترزیس نمونه‌های آزمایش در شکل (۱۹) نشان داده شده است.



شکل ۱۹- مقایسه نمودارهای هیسترزیس نمونه‌های آزمایشگاهی TSTBOD و TSTB

بنابراین، زوال مقاومت در نمونه TSTBOD به صورت تدریجی بوده، اما در نمونه TSTB تقریباً ناگهانی و شدید رخ می‌دهد. همچنین با توجه به جدادشگی مهره از بولت‌های میان‌گذر در نمونه TSTB در چرخه نخست با دوران نسبی  $0^{\circ}/0^{\circ}$ ، این نمونه از شکل‌پذیری پایین‌تری نسبت به نمونه TSTBOD برخوردار می‌باشد.

مقایسه بین نمودار پوش هیسترزیس نمونه‌های آزمایشگاهی TSTBOD و TSTB نشان می‌دهد عملکرد نمونه TSTBOD از لحاظ شکل‌پذیری به دلیل زوال جزئی مقاومت در سیکل پایانی، بهتر است. نمودارهای پوش هیسترزیس نمونه‌های آزمایش در شکل (۲۰) نشان داده شده است.



## ۶- نتیجه گیری

- Constructional Steel Research, Vol 58, pp. 703-723.
- [3] Rezaifar, O. and Younesi, A. (2017), "Experimental study discussion of the seismic behavior on new types of internal/external stiffeners in rigid beam-to-CFST/HSS column connections", Journal of Construction and Building Materials, Vol. 136, pp. 574-589.
- [4] Alostaz, Y.M. and Shneider, P. (1998), "Connections to concrete-filled steel tubes", Eleventh World Conference on Earthquake Engineering, Paper No. 748.
- [5] Kanatani, H., Tabuchi, M., Kamba, T., Hsiaoli, J. and Ishikawa, M. (1987), "A study on concrete filled RHS column to H-beam connections fabricated with HT bolts in rigid frames", Proceedings of the 1st Composite and Construction in Steel and Concrete Conference, pp. 614-635.
- [6] Sheet, I.S., Gunasekaran, U. and MacRae G.A. (2013), "Experimental investigation of CFT column to steel beam connections under cyclic loading", Journal of Constructional Steel Research, Vol. 86 pp. 167-182.
- [7] Han, L.H. and Yao, G.H. (2003), "Influence of concrete compaction on the strength of concrete-filled steel RHS columns", Journal of Constructional Steel Research, Vol. 59, pp. 751-767.
- [8] Susantha, K.A.S., Ge, H.B. and Usami, T. (2001), "A capacity prediction procedure for concretefilled steel columns", Journal of Earthquake Engineering, Vol. 5, pp. 483-520.
- [9] Johansson, M. (2002), "The efficiency of passive confinement in CFT columns", Steel and Composite Structures, Vol. 2, pp. 379-396.
- [10] Hatzigeorgiou, G.D. (2008), "Numerical model for the behavior and capacity of circular CFT columns", Part I: Theory, Engineering Structures, Vol. 30, pp. 1573-1578.
- [11] de Oliveira, W.L.A., De Nardin, S., de Cresce El, A.L.H. and El Debs, M.K., (2010), "Evaluation of passive confinement in CFT columns", Journal of Constructional Steel Research, Vol. 66, pp. 487-495.
- [12] Chung, K.S., Kim, J.H. and Yoo, J.H., (2012), "Prediction of hysteretic behavior of high-strength square concrete-filled steel tubular columns subjected to eccentric loading", International Journal of Steel Structures, Vol. 12, pp. 243-252.
- [13] Ricles, J.M., Peng, S.W. and Lu, L.W. (2004), "Seismic behavior of composite concrete filled steel tube column-wide flange beam moment connections", Journal of Structural Engineering, Vol. 130, pp. 223-232.
- [14] Nie, J., Qin, K. and Cai, C.S. (2008), "Seismic behavior of connections composed of CFSSTCs and steel-concrete composite beams-experimental study", Journal of Constructional Steel Research, Vol. 64, pp. 1178-1191.
- [15] Koester, B.D., (2000), "Panel zone behavior of moment connections between rectangular concrete-filled steel tubes and wide flange beams", PhD dissertation, University of Texas at Austin.
- [16] Chen, Z., Qin, Y. and Wang X. (2015), "Development of connections to concrete-filled rectangular tubular columns", Advanced Steel Construction, Vol. 11, pp. 408-426.
- [17] Hu, J.W., Choi, E. and Leon, R.T. (2011), "Design, analysis and application of innovative composite PR connections between steel beams and CFT columns", Smart Materials and Structures, Vol. 20, pp. 0964-1726.
- [18] ANSI/AISC 358-16, (2016), Prequalified Connections for Special and Intermediate Steel Moment Frames for

با توجه به بررسی دو نمونه آزمایشگاهی، می توان گفت که اتصال با سپری و بولت های میان گذر یکی از بهترین اتصالات صلب برای سازه های با ستون های پرشده با بتن به خصوص در هنگام استفاده از مقاطع HSS به عنوان جداره ستون می باشد. روند طراحی پیشنهادی در این مطالعه برای سپری ها، بولت های میان گذر و دیافراگم خارجی، به خوبی می تواند عملکرد مناسب اتصال را تضمین نماید. نتایج آزمایش نشان می دهد افزودن دیافراگم خارجی به سیستم اتصال سپری و بولت های میان گذر به خوبی از شکست ترد و زوال مقاومت ناگهانی نمونه جلوگیری می کند. هر دو نمونه آزمایشگاهی بدون زوال مقاومت به دوران نسبی ۰/۰۶ رادیان دست یافتند، با این حال شکست نهایی نمونه دارای دیافراگم خارجی به صورت شکل پذیر و باکمانش بال و جان تیر همراه بوده، اما در نمونه فاقد دیافراگم خارجی در سیکل نخست دوران نسبی ۰/۰۷ رادیان جدادشگی مهره از بولت های میان گذر اتفاق افتاد. در اتصال با دیافراگم خارجی، مفصل پلاستیک دور از ستون و در محل مناسب ایجاد شده و کرنش پلاستیک تا عمق جان مقطع گسترش می یابد. همچنین افزایش سختی چشمی اتصال و عدم تغییر شکل پلاستیک در ناحیه چشمی اتصال از ویژگی های مناسب آن است. اما در اتصال بدون دیافراگم خارجی تمرکز تنش در بولت های میان گذر بوده و منجر به ایجاد شکست در این بخش می شود. همچنین بخش هایی از گوشه گرد ستون در این اتصال دچار تکیدگی آهک و تسلیم شده است. اتصال خمثی تیر به ستون فولادی پرشده با بتن TSTBOD و TSTB با ساختاری که در این مطالعه استفاده شد، ضوابط پذیرش اتصالات صلب در قاب های خمثی ویژه را به خوبی پاس می نماید و از نظر هر دو آیین نامه AISC و FEMA مورد تأیید می باشد.

نظر به آزمایشات انجام شده، اتصالات پیشنهادی برای حالتی که قاب صرفاً در یک جهت دارای سیستم باربر جانبی قاب خمثی می باشد، مورد بررسی قرار گرفته است. لذا در صورتی که قاب در دو جهت متعامد دارای سیستم باربر جانبی قاب خمثی باشد، نیاز به بررسی بیشتر و رفع مشکلات اجرایی احتمالی می باشد.

## ۷- مراجع

- [1] McCormac, J.C. and Brown, R.H. (2012), "Design of reinforced concrete", Ninth edition, Hoboken (NJ): John Wiley & Sons, Inc pp. 263-281.
- [2] Hajjar, J.F. (2002), "Composite steel and concrete structural systems for seismic engineering", Journal of



$$= 2.4 \times 2.2 \times 4070 = 15628.8 \text{ kg}$$

$$R_n = \min(R_{n,1}, R_{n,2}) = 11721.6 \text{ kg}$$

$$t_{w,T1} = \frac{T_u}{\varphi \cdot n_b \cdot R_n} = \frac{33014}{0.75 \times 4 \times 2 \times 11721.6} = 0.47 \text{ cm}$$

عرض بال تیر برابر با  $13/3$  سانتی متر و عرض بال ستون  $20$  سانتی متر است. چنانچه عرض بال سپری در محل اتصال به بال ستون را  $13/3$  سانتی متر در نظر بگیریم برای کتربل کشش می‌توان نوشت:

$$T_u \leq \varphi \cdot T_n \Rightarrow 33014 \leq 0.9 \times 13.3 \times t_{w,T2} \times 3120 \\ \Rightarrow t_{w,T2} = 0.88 \text{ cm}$$

$$A_1 = (b - 2 \times (D_b + 0.2)) = 13.3 - (2 \times (1.6 + 0.2)) = 9.7 \text{ cm}$$

$$A_2 = 0.85 \times b = 0.85 \times 13.3 = 11.31 \text{ cm}$$

$$t_{w,T3} = \frac{T_u}{\varphi \times \min(A_1, A_2) \times F_u} = \frac{33014}{0.75 \times 9.7 \times 4070} = 1.11 \text{ cm}$$

$$t_{w,T} = \max(t_{w,T1}, t_{w,T2}, t_{w,T3}) \approx 1.2 \text{ cm}$$

تعیین نیروی اهرمی:

$$a = \frac{b_{ft} - g}{2} = \frac{12 - 6.4}{2} = 2.8 \text{ cm} \\ b = \frac{g}{2} - \frac{t_{wT}}{2} - r = \frac{6.4}{2} - \frac{1.5}{2} - 1 = 1.45 \text{ cm} \\ F = \frac{T_u}{4} = \frac{33014}{4} = 8254 \text{ kg}$$

$$Q = F \left[ \frac{100bd_b^2 - 14wt_{fT}^2}{62ad_b^2 + 21wt_{fT}^2} \right] = 8254 \left[ \frac{100(1.45)(1.6)^2 - 14(6)(1.5)^2}{62(2.8)(1.6)^2 + 21(6)(1.5)^2} \right] = 2066 \text{ kg}$$

$$M_{u,1} = Fb - Qa = (8254 \times 1.45) - (2066 \times 2.8) = 6184 \text{ kg.cm}$$

$$M_{u,2} = Qa = 2066 \times 2.8 = 5784 \text{ kg.cm}$$

$$M_u = \max(M_{u,1}, M_{u,2}) = 6184 \text{ kg.cm}$$

$$Z_T = \frac{12}{2} \times \frac{T_{fT}^2}{4} = 1.5T_{fT}^2$$

$$M_u \leq \varphi M_n \Rightarrow 6184 \leq 0.9 \times 1.5T_{fT}^2 \times 3120 \\ \Rightarrow T_{fT} \geq 1.21 \text{ cm}$$

کتربل پیچ های اتصال جان:



[۱۹] مبحث دهم مقررات ملی ساختمان، (۱۳۹۲)، طرح و اجرای ساختمان‌های فولادی، دفتر تدوین مقررات ملی ساختمان.

[۲۰] ازهri، M. و میرقادri، S.R.، "طراحی سازه‌های فولادی به روشنالات حدی و مقاومت مجاز، جلد ششم - طراحی اتصالات"، انتشارات ارکان دانش.

[۲۱] SAC, SAC/BD-97/02 Version 1.1., (1997), Protocol for fabrication, inspection, testing, and documentation of beam-column connection tests and other specimens, Sacramento (CA): SAC Joint Venture.

[۲۲] AWS D1.1/D1.1M, (2015), Structural welding code-steel, The American Welding Society (AWS).

[۲۳] Qin, Y., Chena, Z., Yang, Q. and Shang, K. (2014), "Experimental seismic behavior of through-diaphragm connections to concrete-filled rectangular steel tubular columns", Journal of Constructional Steel Research Vol. 93, pp. 32-43.

[۲۴] ANSI/AISC 341-1, (2016), Seismic provisions for structural steel buildings, Chicago (IL): American Institute of Steel Construction, Inc.

[۲۵] FEMA350, (2000), Recommended seismic design criteria for new steel moment-frame buildings.

### پیوست

محاسبات طراحی سپری‌ها، بولت‌های میان‌گذر و دیافراگم خارجی:

در ادامه محاسبات اتصال خمی تیر UB  $203 \times 133 \times 8 \times 6$  میلی‌متر به ستون BOX  $200 \times 200 \times 6$  میلی‌متر پوشیده با بتون به مقاومت فشاری  $47$  مگاپاسکال آورده شده است.

$$M_u = \varphi \cdot M_p = \varphi \times Z_b \times F_y = 0.9 \times 286 \times 2810 \times 10^{-5} = 7.23 \text{ ton.m}$$

$$C_u = T_u = \frac{M_u}{d_b} = \frac{7.23 \times 10^5}{21.9} = 33014 \text{ kg}$$

چنانچه از پیچ‌های با قطر  $6$  میلی‌متر برای اتصال جان سپری به بال تیر استفاده کنیم، خواهیم داشت:

$$\text{Stress ratio} = \frac{T_u}{\varphi \cdot A_{nb} \cdot n_b \cdot F_{nv}} = \frac{33014}{0.75 \times 2.01 \times 4 \times 2 \times 0.45 \times 10000} = 0.61$$

$$L_{c,mid} = 3d_b - d_b = 2d_b = 3.2 \text{ cm}$$

$$L_{c,end} = 2d_b - \frac{1}{2}d_b = 1.5d_b = 2.4 \text{ cm}$$

$$R_{n,1} = 1.2 \times L_{c,end} \times F_u = 1.2 \times 2.4 \times 4070 = 11721.6 \text{ kg}$$

$$R_{n,2} = 2.4 \times D_b \times F_u$$

$$= 1015 \text{ kg/cm}^2$$

$$f_{vv} = \frac{V_{max}}{2n_w \cdot A} = \frac{6 \times 1000}{2(2) \times 2.01} = 746 \text{ kg/cm}^2$$

$$f_r = \sqrt{(f_{vt})^2 \times (f_{vv})^2} = \sqrt{(1015)^2 \times (746)^2}$$

$$= 1260 \text{ kg/cm}^2$$

$$F_v = 0.2F_u = 0.2 \times 10000 = 2000 \text{ kg/cm}^2$$

$$\text{Stress ratio} = \frac{f_v}{F_v} = \frac{1260}{2000} = 0.63$$

کنترل گسیختگی ورق اتصال جان:

$$A_v = [h_{sw} - n_w(D_w + 0.2)]t_{sw}$$

$$= [10 - 2(1.6 + 0.2)] \times 0.8$$

$$= 5.12 \text{ cm}^2$$

$$V_p = 0.3F_u A_v = 0.3 \times 3690 \times 5.12 \times 10^{-3} = 5.67 \text{ ton}$$

$$\text{Stress ratio} = \frac{V_{max}}{V_p} = \frac{6}{5.67} = 1.0$$

تعیین ضخامت ورق دیافراگم خارجی:

$$P_{b,f}^* = 2.86(4t_c + t_d)t_c f_{c,y} + 3.30 h_d t_d f_{d,y}$$

$$\text{if } \theta = 45^\circ \Rightarrow h_d = 2.3 \text{ cm}$$

$$f_{c,y} \geq f_{d,y} \Rightarrow f_{c,y} = f_{d,y} = 3120 \text{ kg/cm}^2$$

$$t_{d,1} = \frac{P_{b,f}^* - (11.44 t_c^2 f_{c,y})}{2.86 t_c f_{c,y} + 3.3 h_d f_{d,y}}$$

$$= \frac{33014 - (11.44 \times (0.6)^2 \times 3120)}{(2.86 \times 0.6 \times 3120) + (3.3 \times 2.3 \times 3120)}$$

$$= 0.69 \text{ cm}$$

$$\text{Range of validity: } \frac{h_d}{b_c} \geq 0.15 \frac{t_{b,f}}{t_d}$$

$$t_{d,2} = 0.15 \times \frac{t_{b,f} \times b_c}{h_d} = 0.15 \times \frac{0.8 \times 20}{2.3} = 1.04 \text{ cm}$$

$$t_d = \max(t_{d,1}, t_{d,2}) = 1.04 \text{ cm} \Rightarrow \text{Select } t_d = 1.5 \text{ cm}$$

$$M_p = Z_b \cdot f_y = 286 \times 2810 \times 10^{-5} = 8.03 \text{ ton.m}$$

$$C_{pr} = \frac{f_y + f_u}{2f_y} = \frac{2810 + 3690}{2 \times 2810} = 1.15$$

$$M_{pr} = C_{pr} \cdot R_y \cdot M_p = 1.15 \times 1.15 \times 8.03 = 10.62 \text{ ton.m}$$

$$V_{pr} = \frac{2M_{pr}}{L} = \frac{2 \times 10.62}{2.65} = 8 \text{ ton}$$

$$V_{max} = \frac{2 \times 1.1 \times M_u}{L \times 0.01} = \frac{2 \times 1.1 \times 7.23}{265 \times 0.01} = 6 \text{ ton}$$

$$f_v = \frac{V_{max}}{n_w \times \pi \times \frac{D_w^2}{4}} = \frac{6 \times 1000}{2 \times \pi \times \frac{1.6^2}{4}} = 1492 \text{ kg/cm}^2$$

$$F_v = 0.2F_u = 0.2 \times 10000 = 2000 \text{ kg/cm}^2$$

$$\text{Stress ratio} = \frac{f_v}{F_v} = \frac{1492}{2000} = 0.75$$

کنترل ورق اتصال جان:

$$f_v = 1.5 \times \frac{V_{max}}{h_w \times t_w} = 1.5 \times \frac{6 \times 1000}{10 \times 0.8} = 1125 \text{ kg/cm}^2$$

$$F_v = 0.4F_y = 0.4 \times 2810 = 1124 \text{ kg/cm}^2$$

$$\text{Stress ratio} = \frac{f_v}{F_v} = \frac{1125}{1124} = 1.0$$

$$J = \frac{\pi \times (D_w \times S_w)^2 \times \frac{n_w}{2} \times (4 \left(\frac{n_w}{2}\right)^2 - 1)}{24}$$

$$= \frac{\pi \times (1.6 \times 4.2)^2 \times \frac{2}{2} \times (4 \left(\frac{2}{2}\right)^2 - 1)}{24}$$

$$= 18 \text{ cm}^4$$

$$y_{max} = \left(\frac{n_w}{2} - 0.5\right) \times 4.2 = \left(\frac{2}{2} - 0.5\right) \times 4.2 = 2.1 \text{ cm}$$

$$f_{vt} = \frac{V_{max} \times S_{0w} \times y_{max}}{2J}$$

$$= \frac{6 \times 1000 \times 2.9 \times 2.1}{2(18)}$$

بی نوشت

<sup>1</sup> Shop drawings

<sup>2</sup> Ultrasonic test

<sup>3</sup> Self-compacting concrete

<sup>4</sup> T-Stub with through bolts

<sup>5</sup> T-Stub with through bolts & outer diaphragm

